

## Pb(Zn<sub>1/3</sub>Nb<sub>2/3</sub>)O<sub>3</sub>-Pb(Zr<sub>x</sub>Ti<sub>1-x</sub>)O<sub>3</sub> 세라믹의 구조적, 초전 특성

### Structure and Pyroelectrical Properties of Pb(Zn<sub>1/3</sub>Nb<sub>2/3</sub>)O<sub>3</sub>-Pb(Zr<sub>x</sub>Ti<sub>1-x</sub>)O<sub>3</sub> Compound Ceramics

조현무, 이성갑, 이영희\*

Hyun-Moo Cho, Sung-Gap Lee, \*Yueng-Hie Lee

#### Abstract

Ferroelectric 0.05PZN-xPZT(90/10)-(0.95-x)PZT(10/90) ( $x=0.65, 0.85$ ) specimens were fabricated by the mixed-oxide method and cold-pressing method using sol-gel derived PZT(90/10) and PZT(10/90) powders. All specimens show a uniform ferroelectric grain without the presence of the pyrochlore phase. Average grain size increased with an increase in sintering temperature, the value for the  $x=0.65$  specimen sintered at 1250°C was 14.4 μm. The dielectric constant and dielectric loss of the  $x=0.65$  specimen sintered at 1250°C were 1247, 2.06%, respectively. All specimens showed fairly good temperature and frequency stability of dielectric constant with the range from -20°C to 60°C and 100Hz to 10MHz. The coercive field and the remanent polarization of  $x = 0.65$  specimen sintered at 1250°C were 8.5 kV/cm and 13 μC/cm<sup>2</sup>, respectively. The pyroelectric coefficient of the  $x=0.65$  specimen sintered at 1250°C was  $5.64 \times 10^{-8}$  C/cm<sup>2</sup>K, respectively.

**Key Words(중요용어)** : PZN-PZT ceramics, mixed-oxide method, sol-gel, pyroelectric constant, dielectric loss

#### 1. 서 론<sup>1)</sup>

페로브스카이트형 결정구조를 갖는 Pb(Zr<sub>1-x</sub>Ti<sub>x</sub>)O<sub>3</sub> 세라믹은  $x=0.05\sim0.35$ 의 조성범위에서 저온 안정상과 고온 안정상을 갖는 두 개의 능면체정계상이 존재하며, 실온과 140°C의 온도 범위에서 두 개의 능면체구간의 상전이가 관찰되고 있다. 최근에는 이러한 상전이 부근에서의 높은 초전계수와 낮은 유전상수 특성을 이용하여 고감도 초전형 적외선 센서로의 응용을 위한 연구가 활발히 진행되어지고 있다[1~3]. 또한 강유전성 PZT 세라믹을 복합 페로브스카이트 구조로 제작함에 따른 우수한 유전 및 압

전특성, 낮은 소결온도 그리고 온도에 따른 전기적 특성의 안정성 등의 장점을 이용하여 MLCC (multilayer ceramic capacitor)용 재료, 압전변환소자, 미소변위소자 및 전기광학소자의 재료로 응용되고 있다[4].

따라서 본 연구에서는 PZT 물질에 Pb(Zn<sub>1/3</sub>Nb<sub>2/3</sub>)O<sub>3</sub>를 고용시켜 3성분계 복합 페로브스카이트 구조의 PZN-PZT 세라믹을 제조하였으며, Zr과 Ti의 조성비에 따른 구조적, 유전적, 초전특성을 조사하고자 한다[5]. 특히 PZN 물질은 ZnO의 강한 공유 결합성로 인하여 일반적인 산화물 혼합법으로 시편을 제조하는 경우에는 pyrochlore상이 존재하여 전기적 특성을 저하시키게 되므로 본 실험에서는 pyrochlore상의 생성을 억제시키기 위해 ZnO와 Nb<sub>2</sub>O<sub>5</sub>를 미리 합성시켰으며, 또한 서로 다른 조성의 PZT 물질이 고용되었을 때 시편의 구조적, 전기적 특성에 미치는 영향을 관찰하기 위해 PZT(90/10) 분

1) 전북 남원시 광치동 720

서남대학교 전자전기멀티미디어공학부

\* 광운대학교 전자재료공학과

FAX : 063-620-0211

e-mail : lsgap@tiger.seonam.ac.kr

말과 PZT(10/90) 분말을 솔-겔법으로 각각 제조한 후, 이를 ZnNb<sub>2</sub>O<sub>6</sub> 물질과 합성하여 3성분계 PZN-PZT계 세라믹 시편을 제작하였다.

## 2. 실험

기본 조성식은  $0.05\text{Pb}(\text{Zn}_{1/3}\text{Nb}_{2/3})\text{O}_3-\text{xPb}(\text{Zr}_{0.9}\text{Ti}_{0.1})\text{O}_3-(0.95-\text{x})\text{Pb}(\text{Zr}_{0.1}\text{Ti}_{0.9})\text{O}_3$ 이며, 출발 원료로는 특급 순도를 갖는 시약을 사용하였다. 먼저 ZnO와 Nb<sub>2</sub>O<sub>5</sub>를 혼합, 분쇄하여 columbite구조의 ZnNb<sub>2</sub>O<sub>6</sub>를 1000°C에서 2시간동안 하소시켜 합성하였다. 그 후, 솔-겔법을 이용하여 PZT(90/10)과 PZT(10/90)의 분말을 각각 합성시켰으며, 그림 1의 제작공정에서 나타낸 바와 같이 제조된 각각의 분말과 PbO를 혼합, 분쇄한 후, 900°C에서 2시간 동안 하소하였고, 시편의 소결시간을 2시간으로 고정시킨 후, 소결온도를 1150~1250°C로 변화시켜 PZN-PZT 시편을 제작하였다. 제작된 시편의 구조적 특성을 관찰하기 위해 X-선 회절분석 및 미세구조, EDX를 수행하였으며, 110°C의 실리콘유 속에서 DC 30kV/cm의 전압을 인가하여 분극처리를 행한 후, 온도 변화 및 주파수 변화에 따른 유전특성을 관찰하였다.

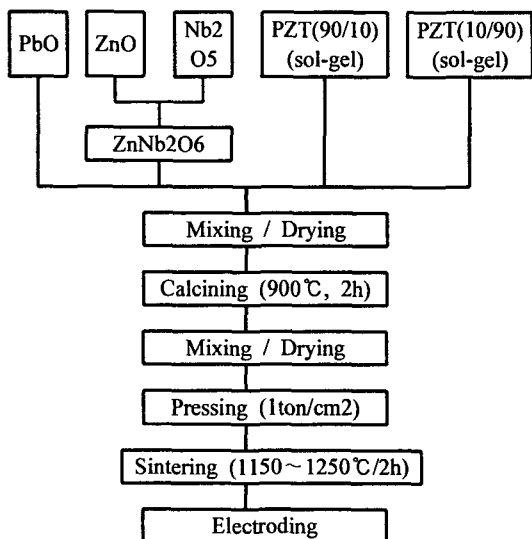


그림 1. PZN-PZT 시편의 제작공정

Fig. 1. Flow chart for the preparation of PZN-PZT specimens.

## 3. 결과 및 고찰

그림 2는 0.05PZN-xPZT(90/10)-(0.95-x) PZT(10/90) 시편의 조성 및 소결온도에 따른 X-선 회절

분석 결과이다. 제작된 모든 시편에서 이차상 또는 pyrochlore상이 없는 균질한 다결정성의 강유전상을 나타내었으며, 소결온도에 따른 변화는 관찰 되지 않았다.

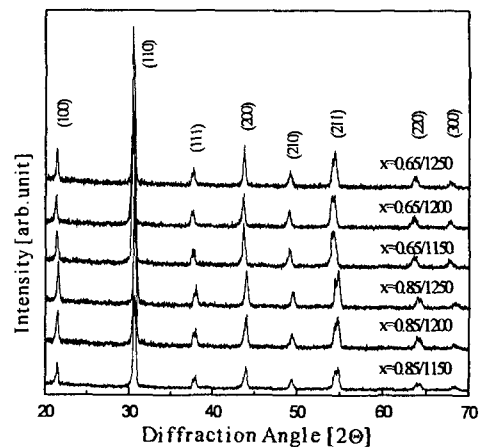


그림 2. 0.05PZN-xPZT(90/10)-(0.95-x)PZT(10/90) 시편의 조성 및 소결온도에 따른 X-선 회절 모양

Fig. 2. X-ray patterns with variation of composition and sintering temperature in the 0.05PZN- xPZT(90/10)-(0.95-x)PZT(10/90) specimens.

그림 3은 0.05PZN-xPZT(90/10)-(0.95-x)PZT(10/90) 시편의 조성 및 소결온도에 따른 표면 미세구조를 나타낸 것이다. 소결온도가 증가함에 따라 평균 결정립의 크기는 증가하는 경향을 나타내었으며, 1250°C에서 소결시킨 x=0.65 시편에서 14.4 μm의 최대 크기를 나타내었다.

그림 4는 0.05PZN-xPZT(90/10)-(0.95-x)PZT(10/90) 시편의 온도변화에 따른 유전상수와 상전이온도를 나타낸 것이다. 온도가 증가할수록 유전상수는 점차 증가하는 경향을 나타내었으며, 1250°C에서 소결한 x=0.85시편은 285°C부근에서 유전율이 5914의 값을 나타내었고, x=0.65시편은 340°C부근에서 유전율이 9882의 값을 나타내었다.

그림 5는 0.05PZN-xPZT(90/10)-(0.95-x)PZT(10/90) 시편의 온도변화에 따른 유전손실값을 나타낸 것이다. 온도가 증가할수록 유전손실 또한 증가하는 경향을 나타내었다. 1250°C에서 소결한 x=0.85 시편은 5.81%의 값을 나타내었고, x=0.65시편에서는 4.93%의 비교적 양호한 값을 나타내었다.

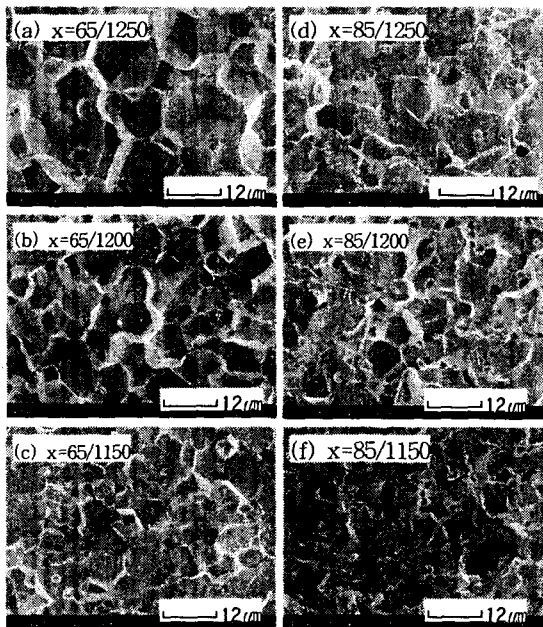


그림 3. 0.05PZN-xPZT(90/10)-(0.95-x)PZT(10/90) 시편의 PZT(90/10) 조성 및 소결온도에 따른 표면 미세구조

Fig. 3. Surface microstructure with variation of PZT(90/10) composition and sintering temperature in the 0.05PZN-xPZT(90/10)-(0.95-x)PZT(10/90) specimens

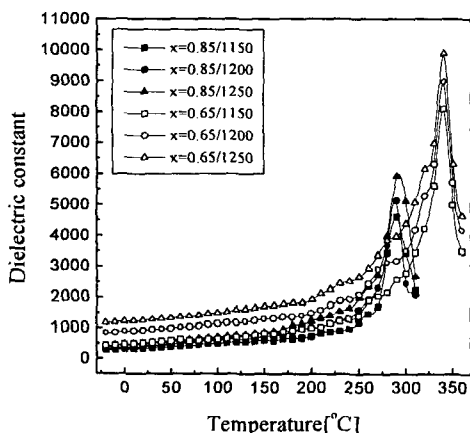


그림 4. 0.05PZN-xPZT(90/10)-(0.95-x)PZT(10/90) 시편의 PZT(90/10) 조성 및 온도에 따른 유전 상수

Fig. 4. Dielectric constant with variation of temperature in the 0.05PZN-xPZT(90/10)-(0.95-x)PZT(10/90) specimens.

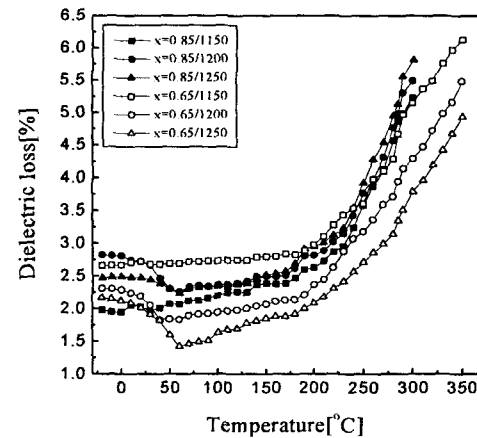


그림 5. 0.05PZN-xPZT(90/10)-(0.95-x)PZT(10/90) 시편의 PZT(90/10) 조성 및 온도에 따른 유전 손실

Fig. 5. Dielectric loss with variation of temperature in the 0.05PZN-xPZT(90/10)-(0.95-x)PZT(10/90) specimens.

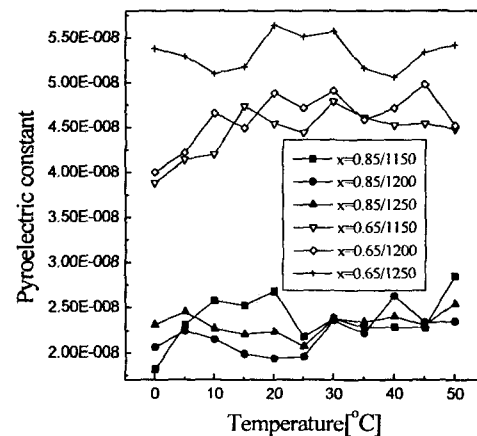


그림 5. 0.05PZN-xPZT(90/10)-(0.95-x)PZT(10/90) 시편의 PZT(90/10) 조성 및 온도에 따른 초전 계수

Fig. 5. Pyroelectric constant variation of temperature in the 0.05PZN-xPZT(90/10)-(0.95-x)PZT(10/90) specimens.

그림 6는 -20°C ~ 60°C 까지 온도를 변화시켰을 때, 0.05PZN-xPZT(90/10)-(0.95-x)PZT(10/90) 시편의 초전상수를 측정한 것이다. 1250°C에서 소결한

$x=0.65$  시편의 초전계수는  $5.64 \times 10^{-8} \text{ C/cm}^2\text{K}$ 를 나타내었다.

그림 7은 Zr/Ti의 조성비와 소결온도에 따른  $0.05\text{PZN}-x\text{PZT}(90/10)-(0.95-x)\text{PZT}(10/90)$  시편의 P-E 이력곡선을 나타내었다.  $x$ 의 조성비가 증가할수록 시편의 항전계 값은 증가하였으며,  $x=65$ 인 시편의 경우 전형적인 강유전 이력곡선이 나타났으나,  $x=85$ 인 시편은 사각이력곡선으로 나타났는데, 이는 능면정계의 조성비에 가깝기 때문이라고 사료된다.  $x=65$ 인 시편은  $10\text{kV}$  이하의 항전계 값을 나타내었으나  $x=85$ 인 시편은 항전계 값이  $15\text{kV}$  이상의 값을 나타내었다. 잔류 분극값은  $x=65$ 인 시편은  $13 \mu\text{C}/\text{cm}^2$  이었으며,  $x=85$ 인 시편은  $30 \mu\text{C}/\text{cm}^2$  이상의 값을 나타내었다.

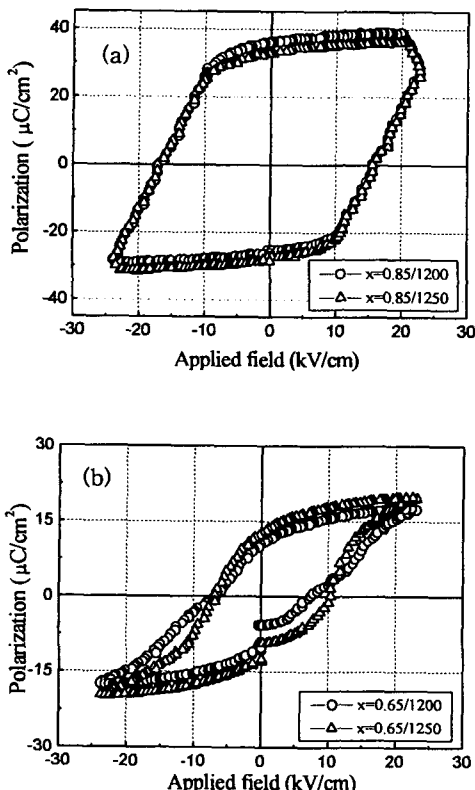


그림 7.  $0.05\text{PZN}-x\text{PZT}(90/10)-(0.95-x)\text{PZT}(10/90)$  시편의 인가 전압에 따른 P-E이력곡선

(a)  $x = 0.85$ , (b)  $x = 0.65$   
Fig. 7. P-E hysteresys loop of a  $0.05\text{PZN}-x\text{PZT}(90/10)-(0.95-x)\text{PZT}(10/90)$  specimens

(a)  $x = 0.85$ , (b)  $x = 0.65$

#### 4. 결 론

본 연구에서는 솔-겔법으로 제작한  $\text{PZT}(90/10)$ ,  $\text{PZT}(10/90)$  분말을 이용하여 강유전성  $0.05\text{PZN}-x\text{PZT}(90/10)-(0.95-x)\text{PZT}(10/90)$  ( $x=0.65, 0.85$ ) 시편을 산화물 혼합법과 일반 소성법으로 제작하였다. 시편의 소결조건은 유지시간을 2시간으로 고정하고, 소결온도를  $1150\sim 1250^\circ\text{C}$ 로 변화시켰으며,  $\text{PZT}(90/10)$  조성과 소결온도에 따른 유전특성을 관찰하였다. 제작된 모든 시편은 pyrochlore상이 없는 균질한 강유전상 결정립을 나타내었다. 상온에서의 유전상수 및 유전손실은  $1250^\circ\text{C}$ 에서 소결시킨  $x=0.65$ 의 시편에서 1247, 2.05%의 우수한 특성을 나타내었다.  $1250^\circ\text{C}$ 에서 소결한  $x=0.85$  시편의 큐리온도는  $280^\circ\text{C}$  이었으며,  $x=0.65$  시편의 큐리온도는  $340^\circ\text{C}$  부근이었다. 상온에서의 초전계수값은  $1250^\circ\text{C}$ 에서 소결한  $x=0.65$  시편의 경우  $5.64 \times 10^{-8} \text{ C/cm}^2\text{K}$ 의 값을 나타내었다. 또 항전계 값은  $x=65$  시편에서  $10.5\text{kV}$ ,  $6.5\text{kV}$ 이고, 잔류 분극값은  $13 \mu\text{C}/\text{cm}^2$ ,  $10 \mu\text{C}/\text{cm}^2$ 의 값을 나타내었다.

#### 참고 문헌

- [1] T. Futakuchi, K. Tanio, H. Sawasaki, M. Adachi, "Low-Temperature Mixed Sintering of  $\text{Pb}(\text{Zr}_{1-x}\text{Ti}_x)\text{O}_3-\text{Pb}(\text{Zn}_{1/3}\text{Nb}_{2/3})\text{O}_3$  Ceramics and Their Pyroelectric Properties." Jpn. J. Appl. Phys. Vol.36 (1996) pp5981-5983.
- [2] T. Shiosaki, J. Lian, M. Adachi and A. Kawabata : Ferroelectrics 92(1989)23.
- [3] B. Hardiman, C. P. Reeves and R. R. Zeyfang : Ferroelectrics 12(1976) 163
- [4] J. M. Herbert, "Ceramics Dielectric and Capacitor", Gordon & Brench. 1985.
- [5] T. Takenaka, Y. Soma and K. Sakata : Trans. IECE Jpn. E69(1986) 468